

# 封闭循环 TEA CO<sub>2</sub> 激光器 用催化剂的实验研究

齐继兰 刘世明 万重怡

(中国科学院电子学研究所,北京 100080)

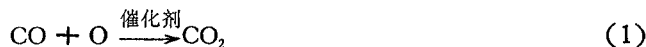
**摘要** 在不同的催化剂和不同温度的条件下,用磁氧分析仪监测了封离型 TEA CO<sub>2</sub> 激光器中 O<sub>2</sub> 含量随时间或脉冲次数的变化。对实验现象进行了分析。对几种催化剂的特性给出了详细的比较。

**关键词** 激光器,封离循环 TEA CO<sub>2</sub> 激光器;催化剂

## 1. 引言

由于封离型 TEA (Transversely Excited Atmosphere) CO<sub>2</sub> 激光器具有结构紧凑、携带方便、操作简单和造价低廉等优点。因此,它在测距、目标跟踪和许多科学研究领域具有广阔的应用潜力。这种激光器在使用中存在的主要问题是,由于放电引起 CO<sub>2</sub> 分子的离解,CO<sub>2</sub> 含量不断的降低,激光器的输出功率随之下降。O<sub>2</sub> 和 CO 的含量逐渐增多,引起激光器放电的不稳定,当 O<sub>2</sub> 的含量达到 1~2% 时,将可使放电从辉光放电过渡到弧光放电<sup>[1]</sup>,这时激光器就不能工作了。

为了解决上述问题,采用催化剂,使发生



反应。催化剂的类型很多,一般分成固体催化剂和均匀催化剂两大类。激光器内 O<sub>2</sub> 含量降低的快慢,反映催化剂的优劣。我们用磁氧分析仪通过对激光器系统中 O<sub>2</sub> 含量和放电起弧的监测,对几种催化剂做了对比实验。为了缩短整个实验时间,把激光器运转条件调到接近起弧的状态。本实验的目的是为了找出催化效果好、耗能低和造价低的实用催化剂,不在于观察激光输出。

## 2. 实验

(1) 实验装置示意图如图 1 所示。激光器内激活媒质的体积为 2×2×60cm<sup>3</sup>, 贮能电容为 0.06 μF, 采用针放电的紫外预电离方式。催化循环系统包括: 循环泵(流量为 15L/min)、反应器、热交换器和磁氧分析仪(德国 Magnos3, 测量氧的精度为 1/10000)。整个系统的容积约为 3000cm<sup>3</sup>。激光媒质为 1:1:4 的 CO<sub>2</sub>-N<sub>2</sub>-He 的混合气, 激光器以自动重复方式工作。

(2) 无催化剂时,对系统的  $O_2$  含量进行了监测。激光器内无任何催化剂时,放电产生的  $O_2$  含量与放电电压以及脉冲次数的关系如图 2 所示。随着放电,激光器内的  $CO_2$  分子存在一个平衡离解浓度。在初始约 50 次脉冲放电期间内,  $CO_2$  离解很快,所以  $O_2$  含量上升也很快。以后,  $O_2$  含量随放电次数的变化接近线性。放电电压越高,注入到主放电中的能量越多,  $CO_2$  离解也就越严重,所以在高电压下测得的  $O_2$  含量较高。曲线终端对应的  $O_2$  含量是起弧率大于 50% 时允许的最高  $O_2$  含量,我们称它为  $O_2$  容限,用  $\rho_t$  表示。从高到低三种电压对应的  $\rho_t$  值分别为 0.75%、0.70% 和 0.56%。在我们选取的主放电电压范围内,电压越高,  $\rho_t$  值越大。在贮能电容一定的条件下,存在一个最佳主放电电压<sup>[2]</sup>,电压高于或低于这个最佳值,  $\rho_t$  均减小。 $\rho_t$  值也与电极表面状况有关。新抛光的均匀场电极  $\rho_t$  值高,经过多次放电后,  $\rho_t$  值迅速地下降到一个稳定值。

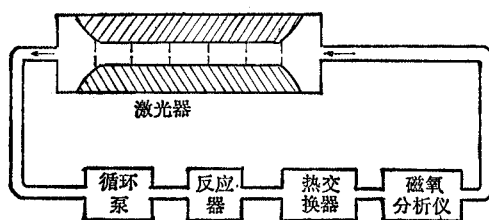
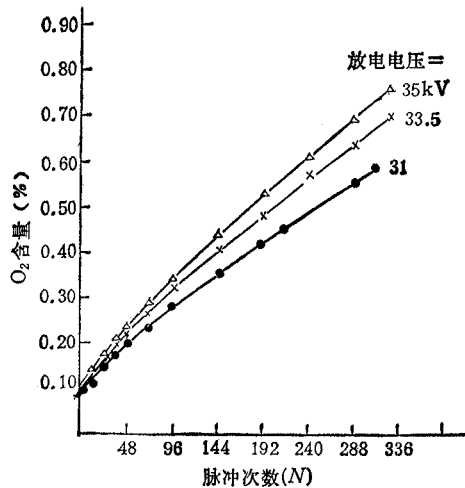
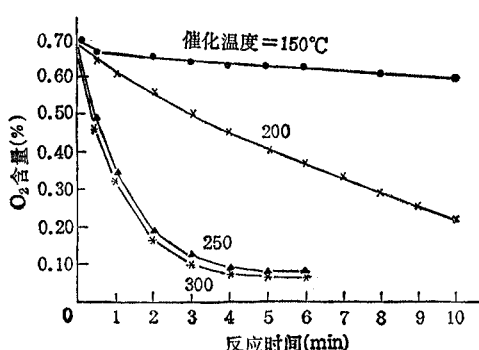


图 1 实验装置示意图

图 2 无催化剂时,  $O_2$  含量随放电脉冲次数和主放电电压的变化

(3) 对  $Pt-Al_2O_3$ ,  $Pd-Al_2O_3$  和  $Pt$  丝(直径为 0.01mm)等固体催化剂的实验,前二者皆为圆球状(直径为 2—3mm)。激光媒质初始的  $O_2$  含量均调到 0.70%。在激光器不放电的条件下,运转催化循环系统,观察  $O_2$  含量随时间和催化剂温度的变化。在同样时间内,  $O_2$  含量降得越低,催化效果就越好;在同样的  $O_2$  含量下,催化温度越低越好。

图 3 催化剂为  $Pd-Al_2O_3$  时,  $O_2$  含量随时间和催化温度的变化

$Pd-Al_2O_3$  的实验曲线如图 3 所示。随着催化温度升高,  $O_2$  含量很快地下降。当催化温度升为 250°C 时,  $O_2$  含量急骤下降。催化温度超过 250°C 以后,  $O_2$  含量下降趋势变化不大, 我们称 250°C 为催化剂的饱和催化温度。

上述 3 种固体催化剂的实验曲线变化趋势相似,为了便于比较,把这 3 种催化剂的主要实验数据列在表 1 内。

表 1 3 种固体催化剂的主要实验数据

催化剂	催化剂重量(g)	最低催化温度(°C)	饱和催化温度(°C)	1min 后(饱和催化温度下)的 O <sub>2</sub> 含量(%)	O <sub>2</sub> 含量降到 0.1% 时(饱和催化温度下)所需的时间(min)	催化剂单价(元/kg)
Pt-Al <sub>2</sub> O <sub>3</sub>	44.0	100	250	0.29	4	~7000
Pd-Al <sub>2</sub> O <sub>3</sub>	44.0	150	250	0.35	5	380
Pt 丝	36.7	350	450(未饱和)	0.26(450°C)	3(450°C)	10000

从表 1 可看出, Pt-Al<sub>2</sub>O<sub>3</sub> 和 Pd-Al<sub>2</sub>O<sub>3</sub> 的催化特性非常接近, 只是在催化效果相同时, 即在相同的 O<sub>2</sub> 含量下, Pd-Al<sub>2</sub>O<sub>3</sub> 的催化温度略高于 Pt-Al<sub>2</sub>O<sub>3</sub>, 但 Pd-Al<sub>2</sub>O<sub>3</sub> 的价格低廉。Pt 丝催化效果虽然很好, 但它要求催化温度高,(在我们的条件下, 只做到 450°C,) 而且价格昂贵。综合考虑, 在这 3 种固体催化剂中, Pd-Al<sub>2</sub>O<sub>3</sub> 最有实用价值。

(4) 对均匀催化剂 CO 和 H<sub>2</sub> 的实验。这种实验需要运转激光器, 因为气体催化剂只有在激光器放电时才起催化作用。

(a) 在激光媒质中加入一定量的 CO, 将发生



过程。M 为第三体。正如图 4 中虚线所示, CO 的加入, 降低了 O<sub>2</sub> 的含量, 减少了 CO 的离解。图中三条曲线对应的 CO 含量分别为 1.3%, 1.9% 和 2.6%。随着 CO 含量的增高, O<sub>2</sub> 含量相对地降低, ρ<sub>t</sub> 值也跟着减小, 它们分别是 0.86%, 0.65% 和 0.57%。此外, 激发态 CO 分子与基态 CO<sub>2</sub> 分子之间的非弹性碰撞也是一个泵浦 CO<sub>2</sub> 激光上能级的通道, 它使激光输出尾部拖长和峰值功率降低。所以, 在激光媒质中, CO 的含量一般控制在 3—4%<sup>[3]</sup>。

(b) H<sub>2</sub> 的催化机制被认为是下述过程:



或

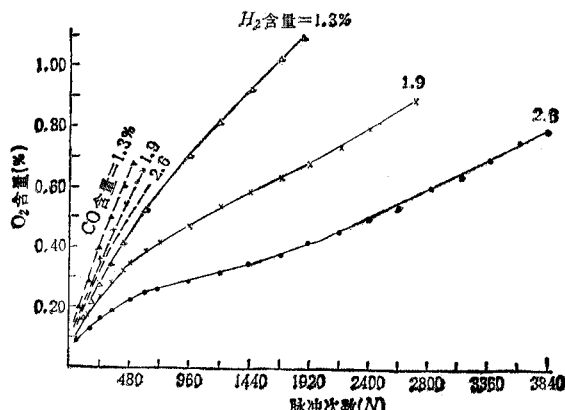


图 4 CO 和 H<sub>2</sub> 分别为催化剂时, O<sub>2</sub> 含量随脉冲次数和 CO, H<sub>2</sub> 含量的变化

$H_2$  的实验结果如图 4 中实线所示。从曲线看出,  $H_2$  的加入大大地减少了  $CO_2$  的离解。 $H_2$  的含量越高, 测得的  $O_2$  含量就越低。在初始约 400 次脉冲放电期间内,  $O_2$  含量增加比较快。从(3)式和(4)式可看出,  $CO_2$  的形成是靠  $OH$ , 故此过程依赖于  $O_2$  的来源。在初始阶段, 混合气中的  $O_2$  浓度很低,  $H_2$  的催化作用比较弱, 不能有效地控制  $CO_2$  的离解。增高  $H_2$  含量对催化有利, 但  $H_2$  含量过高, 会引起放电不稳定。 $\rho_t$  值也随  $H_2$  含量增高而减小, 故要综合考虑。当  $H_2$  含量为 1.3%, 1.9% 和 2.6% 时,  $\rho_t$  值分别为 1.10%, 0.89% 和 0.80%。此外,(5)式示出, 放电过程中也有  $H_2O$  产生,  $H_2O$  对一些腔片和激光器内部的绝缘有害。文献[4]给出,  $H_2$  的浓度最好控制在 1—2% 之间。由于本实验未考虑激光输出功率, 故  $H_2$  的含量有所偏高。

(c) 为了比较  $CO$  和  $H_2$  的催化效果, 我们给氧含量曲线定义一个曲线上升率  $K$ , 即这条曲线上升最快部份的斜率, 其倒数  $1/K$  反映催化速率的大小,  $\rho_t/k(\%)$  则反映激光器寿命的长短。表 2 给出  $CO$  和  $H_2$  在含量为 2.6% 时的实验数据。

表 2  $CO$  和  $H_2$  的主要实验数据 (催化剂含量为 2.6%)

催化剂	$1/k$	$\rho_t(\%)$	$\rho_t/k(\%)$	激光器寿命(脉冲次数)
$CO$	0.48	0.57	0.27	576
$H_2$	2.27	0.80	1.81	3816

从表 2 可以看出,  $H_2$  的催化效果远好于  $CO$ 。 $H_2$  作为催化剂时, 激光器寿命将近是  $CO$  情况的 7 倍。从(2),(3),(4)和(5)式可知,  $CO$  催化过程是中性三体过程, 而  $H_2$  催化过程是中性两体过程。后者的反应速率是前者的 2500 倍<sup>[4]</sup>。

(d) 我们认为,  $CO$  和  $H_2$  组合使用会显著地提高催化效果。有的作者已实际采用<sup>[5]</sup>。为了节省实验时间, 我们只观察初始的一段时间 (3600 次脉冲), 放电远未达到起弧状态。为了便于综合比较, 我们把一些实验曲线一道画在图 5 里, 有关数据给在表 3 中。

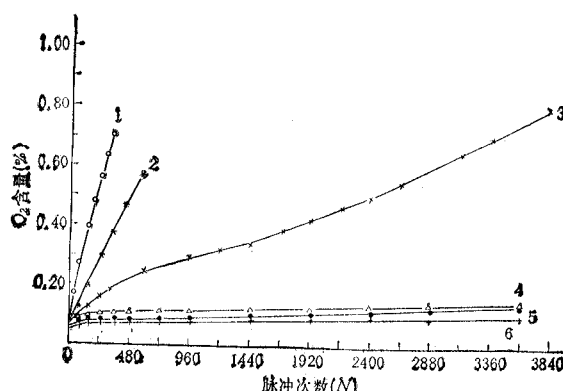


图 5 几种催化剂催化效果的比较

表 3 图 5 曲线的主要数值

曲线	放电电压 (kV)	催化剂	催化温度(℃)	催化剂含量 (%)或重量 (g)	$\rho_i$ (%)	240 次脉冲后 的 O <sub>2</sub> 含量 (%)	激光寿命 (脉冲次 数)
1	33.5	无	室温	0	0.70	0.56	328
2	33.5	CO	室温	2.6	0.57	0.30	567
3	33.5	H <sub>2</sub>	室温	2.6	0.80	0.16	3816
4	33.5	Pd-Al <sub>2</sub> O <sub>3</sub>	250	44	未达到	0.11	3600 (寿命远未终止)
5	33.5	CO H <sub>2</sub>	室温	2.6 2.6	未达到	0.08	3600 (寿命远未终止)
6	33.5	CO Pd-Al <sub>2</sub> O <sub>3</sub>	250	2.6 44	未达到	0.07	3600 (寿命远未终止)

曲线 1,2,3 都没达到稳定平衡态。曲线 4,5,6 是我们感兴趣的。三条曲线非常接近，居中的曲线 5 是 CO 和 H<sub>2</sub> 的组合使用情形，它的催化效果好于固体催化剂 Pd-Al<sub>2</sub>O<sub>3</sub>，而略低于 Pd-Al<sub>2</sub>O<sub>3</sub> + CO，但它不需加热，故是有实用价值的催化剂。在大气压下，气体分子的平均自由程变短，约为  $5 \times 10^{-5}$  mm<sup>[6]</sup>，增加了分子间的碰撞几率，使得均匀催化剂作用增强。此外，CO 和 H<sub>2</sub> 的共同作用是加强催化，而不是互相抵消。因此，组合的 CO 和 H<sub>2</sub> 是实用而有效的催化剂。

### 3. 结论

在封离型 TEA CO<sub>2</sub> 激光器里，加入催化剂是解决激光器寿命和输出稳定性的关键。通过实验研究，我们认为，决定封闭循环 TEA CO<sub>2</sub> 激光器寿命的两个主要参量是  $\rho_i$  和催化剂的催化速率。 $\rho_i$  与气体成份、放电电压、预电离和电极表面状况等多种因素有关，应尽量选择最佳的运转条件，使  $\rho_i$  增大。选择催化效果好的催化剂，便是增加催化速率。多方面考虑，我们认为 CO 和 H<sub>2</sub> 的组合使用是比较好的选择。

本实验通过磁氧分析仪监测 O<sub>2</sub> 浓度随时间或放电脉冲次数的变化，评价和选择催化剂，这是一个可靠、直观和省时间的实验方法。

### 参考文献

- [1] D. S. Stark, M. R. Harris, *J. Phys. E. Sci. Instrum.*, 16(1983)6, 492—496.
- [2] H. Shields, A. L. S. Smith, B. Norris, *J. Phys. D; Appl. Phys.*, 9(1976)11, 1587—1603.
- [3] P. W. Pace, M. Lacombe, *IEEE J. of QE*-14(1978)4, 263—274.
- [4] Hirokazu Hokazono et al., *J. Appl. Phys.*, 62(1987)5, 1585—1593.
- [5] Yutaka Uchida et al., *Japanese J. of Appl. Phys.*, 29(1990)7, 1266—1269.
- [6] D. S. Stark et al., *IEEE J. of QE*, QE-11(1975)9, 774—778.

## THE EXPERIMENTAL STUDIES OF THE CATALYSTS FOR THE CLOSED-CYCLE TEA CO<sub>2</sub> LASER

Qi Jilan Liu Shiming Wan Chongyi

(Institute of Electronics, Academia Sinica, Beijing 100080)

**Abstract** For various catalysts at different temperature, the percentages of O<sub>2</sub> concentration versus time or number of discharge pulses were obtained in a closed-cycle TEA CO<sub>2</sub> laser with the magnetic oxygen analyzer. The experimental phenomena were analysed. Several catalysts were compared in detail.

**Key words** Laser; A closed-cycle TEA CO<sub>2</sub> laser; Catalyst